

УДК 519.17

## ИЗУЧЕНИЕ ЯДЕРНОГО ВЗАИМОДЕЙСТВИЯ ИЗОСКАЛЯРНЫХ $\eta$ -, $\omega$ -, $\bar{\eta}$ - И $\varphi$ -МЕЗОНОВ

Г. А. Сокол<sup>1</sup>, Е. М. Лейкин<sup>2</sup>

*Рассмотрена возможность экспериментального изучения ядерного взаимодействия мезонов с нуклонами и ядрами.*

В данной статье рассмотрена возможность экспериментального обнаружения ядерного взаимодействия мезонов с нуклонами и ядрами. Это взаимодействие мезонов с ядерным веществом может приводить к изменению массы и времени жизни мезонов и рассматриваться в качестве следствия спонтанно нарушенной киральной симметрии – одного из фундаментальных свойств квантовой теории поля [1].

Из большого количества мезонов выбраны для рассмотрения изоскалярные мезоны, обладающие малой шириной распределения по массе и имеющие достаточно выраженную вероятность (несколько % и больше) распада на два  $\gamma$ -кванта или на две заряженные частицы. Условие распада на 2 частицы связано с предполагаемым методом выделения подобных событий. К таким мезонам можно отнести  $\eta$ -,  $\omega$ -,  $\bar{\eta}$ - и  $\varphi$ -мезоны. Другие же имеют либо очень широкое распределение по массе, либо очень малую вероятность распада на 2 частицы.

В таблице 1 приведены основные характеристики и вероятности распада на 2 частицы для  $\eta$ -,  $\omega$ -,  $\bar{\eta}$ - и  $\varphi$ -мезонов [2].

Ядерное взаимодействие мезонов с нуклонами при их распаде внутри ядра может проявиться в изменении распределения продуктов распада по энергии. Влияние ядерной среды на характеристики мезонов (массу, время жизни и др.) должно приводить к уменьшению массы мезона, что отразится в распределении по энергии распадных

<sup>1</sup>gsokol@venus.lpi.troitsk.ru

<sup>2</sup>НИИ ЯФ МГУ, leikin@sinp.msu.ru

частиц, а также в уменьшении времени жизни мезона, т.е. в увеличении ширины  $\Gamma$  распределения по массе. Для этого необходимо, чтобы осуществлялся распад медленного мезона в ядре, что может быть обеспечено, если образование мезона на ядерном нуклоне происходит в условиях, близких к безотдачной кинематике, т.е. когда образующийся мезон обладает близкой к нулевой кинетической энергией [3]. Такую кинематику легко обеспечить в случае рождения мезона на свободном нуклоне. При рождении мезона на ядерном нуклоне условие безотдачной кинематики размывается ферми движением нуклонов в ядре и может быть обеспечено только в узком интервале ферми-импульсов. В этом случае распределение распадных частиц от мезона будет достаточно размытым по энергии и по углу их разлета относительно  $\langle\theta\rangle = 180^\circ$ .

Таблица 1

*Основные характеристики и вероятность распада на 2 частицы ( $\gamma\gamma$ -,  $\pi\pi$ -,  $KK$ -) для  $\eta$ -,  $\omega$ -,  $\bar{\eta}$ - и  $\varphi$ -мезонов (из Particle Data-2008)*

Мезон	Масса $m$ , MeV	Ширина $\Gamma$ , MeV	Распад	%	$p$ , MeV/c
$\eta$ (547)	$547.85 \pm 0.02$	$1.30 \pm 0.07$ (KeV)	$\gamma\gamma$	$39.31 \pm 0.5$	—
$\omega$ (782)	$782.65 \pm 0.12$	$8.49 \pm 0.08$	$\pi^-\pi^+$	$1.53 \pm 0.12$	366
$\bar{\eta}$ (958)	$957.66 \pm 0.24$	$0.205 \pm 0.015$	$\gamma\gamma$	$2.10 \pm 0.12$	479
$\varphi$ (1020)	$1019.51 \pm 0.18$	$4.26 \pm 0.05$	$K^-K^+$	$49.2 \pm 0.6$	127

Предполагается следующая постановка эксперимента для обнаружения ядерного взаимодействия  $\eta$ -,  $\omega$ -,  $\bar{\eta}$ - и  $\varphi$ -мезонов с нуклонами при использовании пучков  $e$ - и  $\gamma$ -квантов, а также  $p$ - и  $d$ -пучков:

- используется мишень в виде пленки из полистирола ( $\text{CH}_2$ ) либо из метилметакрилата ( $\text{C}_3\text{H}_8$ ). Вторая мишень предпочтительна по соотношению числа нуклонов в  $H$  и  $C$  ядрах в мишени. Предполагается, что на  $H$  процесс рождения мезона происходит как на свободном протоне и, тем самым, в эксперименте будет обеспечена необходимая энергетическая калибровка для процесса рождения мезона на ядерном нуклоне;
- энергия падающих частиц ( $e$ ,  $\gamma$ ,  $p$ ,  $d$ ) подбирается таким образом, чтобы для  $H$  осуществлялось условие безотдачной кинематики для рождения соответствующего мезона  $M$ ;
- для измерений выбирается интервал энергий, соответствующий моде распада  $M$ -мезона на 2  $\gamma$ -кванта ( $\eta$ -мезон) или на 2 заряженных частицы ( $\pi^-\pi^+$  или  $K^-K^+$ -мезоны) ( $\omega$ -,  $\bar{\eta}$ -,  $\varphi$ -мезоны);

- при реализации условия безотдачной кинематики частицы от распада мезона будут разлетаться под углом  $\langle\theta(\pi\pi)\rangle = 180^\circ$ , а их распределение по энергии будет достаточно узким, в соответствии со значением ширины  $\Gamma$  распределения по массе регистрируемого мезона;
- распадные частицы будут регистрироваться двумя спектрометрами, расположенными под углом  $90^\circ$  к падающему пучку;
- если часть мезонов испытывает ядерное взаимодействие внутри ядра-мишени, то регистрируемое распределение по энергии распадных частиц будет сдвинуто относительно узкого пика, отвечающего рождению мезона на  $H$ , и будет представлено в виде более широкого пика, отвечающего рождению мезона на ядерном нуклоне. Более широкий пик будет сдвинут к меньшим энергиям из-за уменьшения массы мезона в ядерной среде и размыт из-за влияния ферми – движения нуклонов в ядре.

Таким образом, наблюдение суммарного распределения по энергии распадных частиц для конкретного мезона  $M$ , состоящего из узкого и более широкого, сдвинутого по энергии, пика, при использовании в эксперименте составной мишени, содержащей  $H$  и ядро  $A$  (например,  $CH_2$ ), будет свидетельствовать о наличии влияния ядерной среды, т.е. ядерного взаимодействия мезона  $M$  и ядра  $A$ .

На рис. 1 схематично представлено ожидаемое распределение по энергии распадных частиц мезона  $M$  для случая мишени, содержащей  $H$  и ядро  $^{12}C$ .

Таблица 2

Значения кинетических энергий протона  $T_p$  (в ГэВ)  
при образовании мезона  $M$  в pp-реакции и энергии  $E(\gamma)$  (в ГэВ)  
при фоторождении мезона  $M$  в ( $\gamma p$ )-реакции в условиях безотдачной кинематики,  
когда  $T(M) = 0$

Реакция	$\eta$	$\omega$	$\dot{\eta}$	$\varphi$
$T(p) p + p \rightarrow M + p + p$	0.547	0.782	0.958	1.020
$T(p) p + d \rightarrow M + p + d$	2.24	7.37	–	–
$E(\gamma) \gamma + p \rightarrow M + p$	1.04	1.73	2.43	2.74
$E(\gamma) \gamma + d \rightarrow M + d$	1.0	3.90	–	–
	0.63	0.95	1.20	1.42

в позициях, отмеченных (–), условие безотдачной кинематики не реализуется, т.к. масса мезона  $M$  превышает массу частицы-мишени.

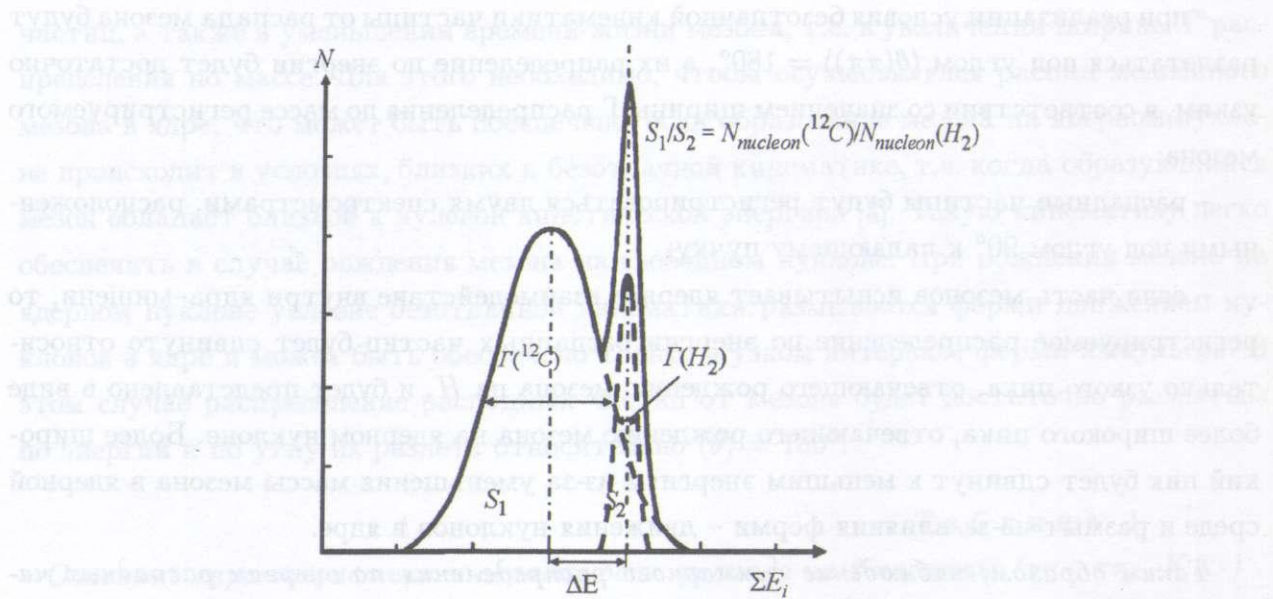


Рис. 1. Схематический ожидаемый энергетический спектр по суммарной энергии  $\Sigma E_i$  частиц от распада мезона  $M$ , возникающего в результате рождения на ядерном нуклоне ядра  $^{12}C$  и на ядре  $H_2$  в составной мишени  $CH_2$ .

В таблице 2 приведены значения кинетических энергий  $T(p)$  (в ГэВ) налетающего протона при рождении мезона  $M$  в  $pp$ -столкновении и значения  $E(\gamma)$  (в ГэВ) при фоторождении мезона  $M$  в  $\gamma p$ -реакции, отвечающих условию безотдачной кинематики, когда кинетическая энергия мезона  $M$   $T_{\text{кин}}(M) = 0$  в лабораторной системе координат.

Таблица 3

Значения пороговых энергий  $E(\gamma, \text{порог})$  (в ГэВ) в реакции фоторождения  $M$ -мезонов на протоне и пороговых энергий  $T(p, \text{порог})$  (в ГэВ) при образовании мезона  $M$  в  $pp$ -реакции

Реакция	$\eta$	$\omega$	$\dot{\eta}$	$\varphi$
$E(\gamma, \text{порог}) \gamma + p \rightarrow M + p$	0.547	0.782	0.958	1.020
$T(p, \text{порог}) p + p \rightarrow M + p + p$	0.71	1.11	1.45	1.57
	1.25	1.89	2.40	2.59

В таблице 3 приведены пороговые энергии  $E(\gamma, \text{порог})$  (в ГэВ) при фоторождении мезонов  $M$  в  $(\gamma, p)$ -реакции и пороговые энергии  $T(p, \text{порог})$  (в ГэВ) для образования мезонов  $M$  в  $pp$ -реакции.

Остановимся на условии безотдачной кинематики, которое составляет основную особенность эксперимента.

Создание для мезона  $M$  условия безотдачной кинематики, т.е. условия, когда мезон  $M$  в ядре практически покоится, важно по следующим причинам:

- если мезон  $M$  распадается на 2 частицы, то частицы разлетаются под углом  $\langle\theta\rangle = 180^\circ$ . Разлет происходит во все  $4\pi$  пространство, что позволяет выбрать положение для 2-х спектрометров с минимальным уровнем фона. Предпочтительно расположение спектрометров под углом  $\langle\theta\rangle = 90^\circ$  по отношению к падающему пучку, по обе стороны от пучка, и в вертикальной плоскости реакции;

- если условие безотдачной кинематики не выполнено и мезон  $M$  обладает заметной кинетической энергией  $T(M)$ , то он может вылететь из ядра и его распад будет происходить вне ядра и влияние ядра на характеристики мезона  $M$  не будет сказываться.

*По этим причинам условие безотдачной кинематики важно, т.к. увеличивает выход ожидаемой реакции и обеспечивает условия для регистрации частиц, возникающих при распаде мезона  $M$  в ядре.*

В работах [4, 5, 7, 8] рассматривалось влияние ядерной среды на характеристики мезонов и наблюдалось смещение измеряемого энергетического распределения распадных частиц мезона  $M$  в ядре по сравнению с распределением при распаде свободного мезона. В этих работах условие безотдачной кинематики не рассматривалось, поэтому эффект смещения распределения был мал. Тем не менее, смещение было зафиксировано и связывалось с влиянием ядерной материи на характеристики мезонов, т.е. с ядерным взаимодействием мезона  $M$  с ядром.

Возможность изучения свойств барионных резонансов в ядерной среде рассмотрена в [6].

В работах [9–11], выполненных с целью обнаружения эта( $\eta$ )-мезонных ядер, наблюдалось смещение положения по энергетической шкале  $S_{11}(1535)$ -резонанса, образованного в ядре  $A$  в результате реакции  $\gamma + N \rightarrow S_{11}(1535)$ , когда  $\eta$ -мезон возникал внутри ядра в процессе  $\gamma + A \rightarrow N + [\eta + (A - 1)]$ . Смещение в положении  $S_{11}(1535)$ -резонанса по сравнению с положением в случае распада свободного  $S_{11}(1535)$ -резонанса можно рассматривать как результат изменения свойств (массы)  $\eta$ -мезона в ядерной среде.

Авторы выражают благодарность В.А. Баскову за помощь в оформлении рисунка.

## ЛИТЕРАТУРА

- [1] B. Krushe, Pr. Part. Nucl. Phys. **55**, 46 (2005).

- [2] C. Amsler et al. (Particle Data Group), Phys. Lett. B **667**, 1 (2008).
  - [3] А. М. Балдин и др., *Кинематика ядерных реакций* (М., Атомиздат, 1968 ).
  - [4] M. Hedayati-Poor, H. S. Sherif, arXiv: nucl - th/0604016
  - [5] S. Eidelman et al. (Particle Data Group), Phys. Lett. B **592**, 1 (2004).
  - [6] А. И. Лебедев, в: Труды 1-го рабочего совещания “Поиск и исследование  $\eta$ -мезонных ядер в  $pA$ -реакции на нуклонроне ОИЯИ” (ОИЯИ, Дубна, 2007), стр. 8.
  - [7] J. Wei $\beta$  et al., Eur. Phys. J. A **16**, 275 (2003).
  - [8] D. Trnka et al., Phys. Rev. Lett. **94**, 192303 (2005).
  - [9] G. A. Sokol et al., Fizika B (Zagreb) **8**(1), 85 (1999).
  - [10] Г. А. Сокол и др., Письма ЭЧАЯ N 5, 71 (2000).
  - [11] Г. А. Сокол и Л. Н. Павлюченко, ЯФ **71**(3), 509 (2008).

Поступила в редакцию 3 декабря 2008 г.